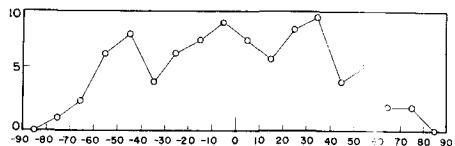


粒状土の応力比～ヒズミ～ダイレタンシー関係に関する微視的考察

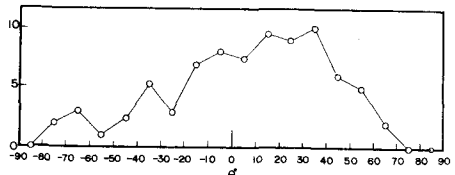
京都大学防災研究所 正員 村山耕郎
 京都大学大学院 学生員 松岡 元
 国鉄 正員 坂東 弘
 前田建設 正員 前田憲一

さきに発表したように粒状土のせん断抵抗を直接的に支配する微視的原因として、粒子接点角 θ 、粒子間力 f 、粒子間摩擦角 δ をあげ、それらを適確に評価し「 θ の度数分布」という概念を導入して、巨視的量としてのせん断抵抗およびダイレタンシー量を表現した。特に、ダイレタンシー量の評価にはモニタ・カルロ法を適用し電子計算機(FACOM 230-60)を用いて数値計算した。

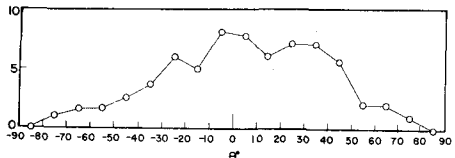
1. 粒子接点角 θ の度数分布について θ は着目している接点で接触する2個の粒子の共通接線がせん断面に与す傾斜角であらわし、せん断方向に粒子が乗り上がるときは正、真上で0、下るときは負とする。さて、種々の大きさの粒子がランダムに配置している粒状土がせん断を受けた場合の θ の評価方法として、 -90° から $+90^\circ$ までの θ の範囲をある等間隔の変域に区分し、写真よりせん断面上の θ を読み取ってこの変域について θ の度数分布を求めてみた。図-1は4種の径($\phi 1.6, 3, 5, 9\text{ mm}$)からなるアルミ棒積層体を一面せん断型(試料幅20cm)の試験機でせん断したときのせん断面上の θ の度数分布(10°间隔)である。せん断前の初期状態では(a)図のように左右対称的な分布をなす傾向がみられ、その分布形状は繊密固め状態や粒度分布、粒子形状によつて異なると考えられる。その後、せん断変位が進むにつれて、ピークが右の方(θ の正の領域)に現われる傾向がある。ピークが右へ寄るほど抵抗(やすい角度)になるわけであるが、(b)図はピーク強度付近、(c)図は残留強度付近。



(a) セン断前の初期状態.



(b) ピーク強度附近

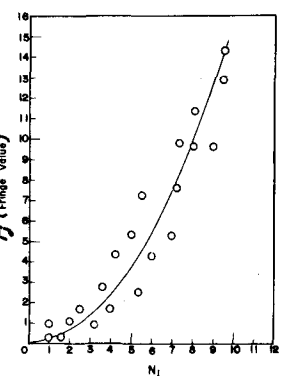


(c) 残留強度附近

図-1 セン断にともなう θ の度数分布の変化特性

2. 粒子間力 f について セン断時の粒子間力の伝達状況を把握するため光弾性材料の棒($\phi 6.2, 10\text{ mm}$)の積層体の光弾性せん断試験を行なった。この結果、 θ の度数 N_θ と同じ変域内の粒子間力 f_θ の和 F_θ の間に相関性がみられ、図-2に示すように多くの度数をもつての接点を通じてはより多くの力が伝達される傾向にあるが、両対数紙にプロットした結果からみて粒子間力の大きさ F_θ は θ の度数 N_θ の2乗に比例すると仮定する。

3. セン断抵抗(R_N)の微視的評価 図-3に示すようにせん断面上の滑動している個々の粒子接点に着目すると、 i 番目の接点の粒子間力を f_i 、粒子接点角を θ_i 、粒子間摩擦角を一定値 δ とすれば、せん断抵抗は一般に次のように表わす

粒子間力の大きさ f の関係

$$m_3, \frac{\bar{I}}{CN} = \frac{S}{N} = \frac{\sum_{j=1}^n f_j \cdot \sin(\theta_j + \delta)}{\sum_{j=1}^n f_j \cdot \cos(\theta_j + \delta)} \quad \dots \dots \quad (1)$$

ここにはせん断面上の滑動で
る粒子の接点数である。 f_j と θ_j を関係づけるため θ の全範囲($-90^\circ \sim +90^\circ$)のある
間隔 $\Delta\theta$ の領域(その中央値を θ_j とする)に区分し、 θ_j 変域内での度数 N_j と粒度向
かの大きさ F_j という概念で解析を進めた。 θ_j , F_j を用いれば(1)式は次式に変換できる。

$$\frac{\bar{I}}{CN} = \frac{\sum_{j=1}^n F_j \cdot \sin(\theta_j + \delta)}{\sum_{j=1}^n F_j \cdot \cos(\theta_j + \delta)} \quad \dots \dots \quad (2)$$

ここには θ の分割領域の数である。計2.7°判斷(1)

$$F_j = C \cdot N_j^2 (C: \text{const}) \quad \dots \dots \quad (3)$$

(3)を(2)式に代入すれば次式を得る。 (4)式より巨視的

$$\frac{\bar{I}}{CN} = \frac{\sum_{j=1}^n N_j^2 \cdot \sin(\theta_j + \delta)}{\sum_{j=1}^n N_j^2 \cdot \cos(\theta_j + \delta)} \quad \dots \dots \quad (4)$$

なせん断抵抗は θ の度数分布 $N_j(\theta_j)$ を求れば算定することができます(計算値と実測値の比較データ²⁾は省略する)。

4. タイレタニー量の微視的評価 一般に粒状体がせん断变形を受けるとその粒状性のために同時に体積変化も生じ、これをタイレタニーと呼んでいる。図-4はその発生機構を微視的観点から示したものである。この図に て(i)番目の粒子の上を粒子接点角 θ_i となる(i+1)番目の粒子が $\Delta\theta_i$ だけ角度変化したことによる高さの変化量 Δh_i は、

$$\Delta h_i = (r_i + r_{i+1}) \cdot \sin \Delta\theta_i - \theta_i \quad \dots \dots \quad (5)$$

$$L = \frac{\sum_{i=1}^{n-1} (r_i + r_{i+1}) \cdot \sin \Delta\theta_i + (r_1 + r_n)}{n-1} \quad \dots \dots \quad (6)$$

と表わされる。さて単純せん断的な一様なせん断に曝された受けた

場合を考えると、 θ の度数分布は高さ方向について図-1と同様な変化特性を示すので、各粒子接点の θ_i でせん断にともない
 θ の度数分布の変化にしたがって変化すると考えられる。また Δh_i は巨視的なせん断ヒスミの変化 $\Delta\theta$ の各粒子接点における応答量と考えることができるので、事実 $\Delta\theta = 2^\circ$ のとき Δh_i は平均値を約 2° 、標準偏差を 3.5° とする正規分布的な分布をなすことがアルミニウム複合層体についての单纯せん断試験より確かめられている。

5. 応力比へヒスミへタイレタニー関係について 以上考察より、せん断にともなう θ の度数分布形の変化が求
められ、応力比(σ_{xy}/σ_x)もタイレタニー量も算定することができます。せん断ヒスミは角度変化であるから θ の度数分布と
関係づけられるはずであるが、ヒスミ強度以前の構造に定量化の困難な部分があるので、ここでは図-1に示すような
せん断にともなう変化特性とともに θ の度数分布の変化のモデル・パターンを仮定して応力比とタイレタニー量を計算してみた。応力比は(4)式より試料の粒子間
摩擦角 ϕ が既知であれば直ちに算定できる。タイレタニー量については、 γ とは試
料の粒子数に関するものに变换した粒径分布曲線とともに同一乱数を発生
させモード・カルロ法を適用して抽出し、 $\Delta\theta_i$ は平均値が $\Delta\theta$ に等しくある分散をもつ
正規分布をなすものと仮定して同様な方法で抽出し、 θ_i はせん断段階にしたがって
 θ の度数分布のモデル・パターンから同様に抽出して(5), (6)式を組み合わせて
電子計算機により算出した。 γ の計算結果の一例を図-5に示す。I→IVに
したがってモデル・パターンの初期の台形状分布の肩(上底)幅が小さくな
つてゆき(肩幅を図中のカッコ内に示す)、これは実際の砂礫の密なうちから
ゆるいものに対応していると考えられ、定性的に我々の経験事実と一致
している。詳細は講演時に発表する。

終りに電子計算機のアドバイザリーランジニアについて助言をいたいた京大土木
亀田弘行助教授に謝意を表します。

- 1) 村山耕郎・松岡元：粒状体のせん断現象の微視的考察 土木学会第24回
年次学術講演会Ⅲ-8, 昭44.
- 2) 村山耕郎・松岡元：2次元モデルによる
粒状体のせん断現象の微視的考察 研究所年報第13号B, 昭和45.3.

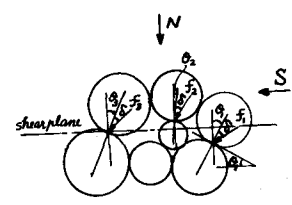


図-3

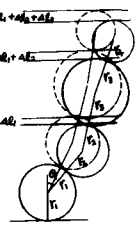


図-4

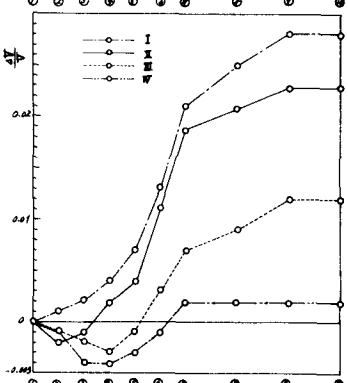
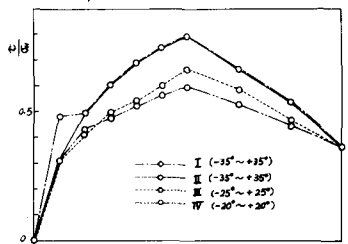


図-5 セン断にともなう応力比(σ_{xy}/σ_x)と
タイレタニー(γ)の計算結果